

## ریاضیات نظریهٔ ریسمان\*

روبرت دایگرف\*

ترجمهٔ ویدا میلانی

### ۱. مقدمه

بود. این کتاب به زبان ریاضی نوشته شده است و علائم آن مثلثها، دایره‌ها و اشکال هندسی دیگر هستند.

این احترام عمیق به ریاضیات بعد از قرن هفدهم هم از میان نرفت. در اوایل قرن بیستم با پیدایش نظریه‌های عظیم نسبیت عام و مکانیک کوانتومی دوباره شاهد وحدت فکری خارق‌العاده بین ریاضیات و فیزیک بوده‌ایم. این امر در تمام مراکز جهان ریاضیات کاملاً مشهود بوده و ریاضیدانان در آن شرکت فعالانه داشته‌اند. به‌خصوص در گوتینگن، مکانی که هیلبرت، مینکوفسکی، وایل، فون نویمان و بسیاری دیگر از ریاضیدانان خدمات مهمی به فیزیک کرده‌اند، وضع به همین منوال بوده است.

فیزیک نظری همواره مجذوب زیبایی معادلاتش بوده است. در اینجا به بیان قولی از فاینمن، که مسلماً اشتهاری به داشتن تبحر در ریاضیات مجرد ندارد، می‌پردازیم:

برای آنان که ریاضیات را نمی‌شناسند مشکل است که زیبایی را، عمیق‌ترین زیبایی طبیعت را، واقعاً درک کنند.... اگر بخواهید طبیعت را بهتر بشناسید و آن را تحسین کنید، لازم است زبانی را که با آن سخن می‌گوید درک کنید.

ولی پس از آن فاینمن همچنین اظهار داشت: «اگر امروز کل ریاضیات ناپدید شود، فیزیک دقیقاً یک هفته به قهقرا می‌رود.» (پاسخ یک ریاضیدان به این گفته چنین بود: «این همان یک هفته‌ای است که خداوند جهان را خلق کرد.»)

اما علی‌رغم احساسات گرم فاینمن، در دهه‌های ۱۹۵۰ و ۱۹۶۰ مسیرهای فیزیک بنیادی و ریاضیات شروع به دور شدن از یکدیگر کرد. در تقلا برای تبیین ذرات زیراتمی، فیزیکدانان امید خود را به اینکه ساختار

نظریهٔ ریسمان [۱] طی سالها توانسته است شاخه‌های مختلفی از ریاضیات را غنی‌تر سازد. موضوعاتی از قبیل هندسهٔ جبری، هندسهٔ دیفرانسیل، توپولوژی، نظریهٔ نمایش، آنالیز نامتناهی بعد و بسیاری موضوعات دیگر تحت تأثیر مفاهیم جدیدی همچون تقارن آینه‌ای ([۲] و [۳])، کوهومولوژی کوانتومی ([۴] و [۵]) و نظریهٔ میدان همدیس [۶] رونق و تحرک یافته‌اند. در واقع می‌توان گفت که صرف‌نظر از نقش نهایی این نظریه در فیزیک بنیادی، تأثیر نظریهٔ ریسمان در ریاضیات اثر پایدار و پرارزش آن در علوم خواهد بود. به نظر می‌رسد که نظریهٔ ریسمان پیچیده‌ترین و غنی‌ترین مبحث ریاضی است که تاکنون در فیزیک ظاهر شده است و ارتباط الهام‌بخشی که بین ریاضی و فیزیک پدید آورده است در حال تأثیرگذاری فزاینده در حوزه‌های وسیع و وسیع‌تری از ریاضیات است.

### ۱.۱ فیزیک و ریاضیات

همکاری فیزیک و ریاضیات قطعاً پدیدهٔ نوی نیست. ریاضیات سوابقی طولانی در تأثیر پذیری از علم فیزیک دارد که به علم نجوم، معماری، و اندازه‌گیری زمین در عهد بابلان و مصریان باستان برمی‌گردد و در قرنهای ۱۶ و ۱۷ میلادی با پیدایش آنچه امروزه مکانیک کلاسیک نامیده می‌شود به اوج خود رسید. یکی از بنیان برجستهٔ این همکاری، گالیله، تصویر مشهور «کتاب طبیعت» را به ما ارزانی داشته است، که در انتظار رمزگشایی توسط دانشمندان است:

فلسفه در این کتاب بزرگ، جهان هستی، که دائماً در برابر چشمان ماست، نوشته شده است. اما تا وقتی که زبان این کتاب و علائمی را که با آنها نوشته شده است نیاموزیم قادر به درک آن نخواهیم

نظریه K، قضایای شاخص [اندیس] و به طور کلی با جبرهای ناجابه جایی، سروکار دارد.

-ریسمانها یا به طور کلی اشیای گسترده (شامه<sup>۱</sup>ها) به عنوان تعمیم طبیعی ذرات تک نقطه‌ای. این از لحاظ ریاضی به این معنی است که قضاها عمدتاً از طریق فضاهای حلقه کوانتیده‌شان بررسی می‌شوند. این موضوع به طور طبیعی با آنالیز نامتناهی بعد و نظریه نمایش ارتباط دارد.

در حال حاضر به نظر می‌رسد که این سه نظریه مستقل خیلی به یکدیگر مربوطاند و شاید در اساس با هم معادل باشند. فیزیک تا حدی سعی می‌کند فرهنگی از اصطلاحات و تعبیر بین هندسه، نظریه پیمانه‌ای و ریسمانها بنا کند. از دیدگاه ریاضی، اینکه چنین شاخه‌های گوناگونی این قدر به هم مربوطاند بسیار جالب است. این موضوع انسان را به فکر می‌اندازد که ساختار فراگیری که آنها را در بردارد چیست.

باید گفت که در تمام این پیشرفتها دو عنصر دیگر هم وجود دارند که فوق‌العاده مهم‌اند. اولین آنها مکانیک کوانتومی است، یعنی شرح واقعیت فیزیکی بر مبنای جبر عملگرهای روی فضای هیلبرت. در اکثر تلاشها برای درک نظریه ریسمان، مکانیک کوانتومی مبنای کار بوده است و تغییر این وضع بعید به نظر می‌رسد.

عنصر دیگر ابرتقارن است - وحدت ماده و نیروها. به بیان ریاضی، ابرتقارن ارتباط تنگاتنگی با مجتمعهای دُرآم<sup>۲</sup> و توپولوژی جبری دارد. از لحاظی، بیشتر پیوندهای شگفت‌انگیز در نظریه ریسمان تنها در صورت حضور ابرتقارن امکان‌پذیر است. از آنجا که اساساً با یک مجتمع سروکار داریم، برای ریاضیدانان عجیب نیست که شاخصهای مختلف توپولوژیکی وجود دارند که تحت اختلال، پایدار می‌مانند و می‌توان آنها را در حد مناسبی به طور دقیق محاسبه کرد. در واقع وجود چنین کمیتهای توپولوژیک، که نسبت به تغییر کل نظریه حساس نیستند، پیشگوییهای ریاضی دقیق را امکان‌پذیر می‌سازد، هر چند تا کامل شدن نظریه نهایی راه طولانی در پیش است.

### ۳.۱ ناوردهای کوانتومی

ریاضیات به مطالعه الگوها و ساختارهای مجرد می‌پردازد و یک دیدگاه سلسله‌مراتبی دارد، یعنی اشیاء در ابتدا در رسته‌های وسیعی قرار می‌گیرند و سپس ظریف و ظریف‌تر می‌شوند و تمایز بیشتری می‌یابند. مثلاً در توپولوژی، فضاها به طور خیلی کلی مطالعه می‌شوند، در حالی که در هندسه، شکل واقعی فضا است که اهمیت دارد. رویه‌های (بسته و جهت‌دار) دوبعدی از نظر توپولوژی به طور کامل بر اساس گونا<sup>۳</sup> یا تعداد دستواره<sup>۴</sup> هایشان،  $g = 0, 1, 2, \dots$  طبقه‌بندی می‌شوند. لذا با یک ناوردهای توپولوژیکی  $g$  سروکار داریم که به هر رویه یک عدد به صورت

$$g : \{\text{رویه‌ها}\} \rightarrow \mathbb{Z}_{\geq 0}$$

نسبت می‌دهد.

در حالت کلی، چنین ناوردهایی به سختی به دست می‌آیند، و فیزیک کوانتومی به ویژه نظریه ذرات و ریسمان، منبع الهام مفیدی برای به دست آوردن ناوردهای جدید است. البته این موضوع چندان جای تعجب ندارد.

ریاضی زیبایی برای آن بیاند از دست می‌دادند. از طرف دیگر، ریاضیدانان در این سالها خیلی درونگرا بودند. به دلیل اینکه این دو شاخه پشت به پشت قرار گرفته بودند، دایسن جملات مشهور زیر را در سخنرانی گیبس خود در ۱۹۷۲ بیان داشت:

من از این واقعیت آگاهم که وحدت بین ریاضی و فیزیک، که در قرون گذشته فوق‌العاده مفید بوده است، اخیراً به جدایی انجامیده است.

اما این اظهار نظر نابخسته بوده است، زیرا درست در همان زمان مدل استاندارد داشت متولد می‌شد، و به این ترتیب هندسه در هیأت میدان پیمانه‌ای غیرآبلی، اسپینورها و توپولوژی به خط مقدم برگشت. نکته شایان توجه این است که تمام عناصر مدل استاندارد، به طور کاملاً طبیعی، تعبیری ریاضی برحسب هموستار<sup>۱</sup>ها، کلافهای برداری و جبرهای کلیفورد دارند. طولی نکشید که ریاضیدانان و فیزیکدانان شروع به فراهم کردن این مجموعه از تعبیر کردند و به واسطه کارهای آتیا، سینگر، توفت<sup>۲</sup>، پولیاکوف و بسیاری افراد دیگر، دوران جدیدی از تأثیرات متقابل مفید میان ریاضی و فیزیک آغاز شد.

### ۲.۱ ریسمانها و ریاضیات

به نظر من مصفانه است که بگویم پیوند مجدد ریاضی و فیزیک با ظهور نظریه ریسمان به عنوان نیروی محرکه مسلط در فیزیک ذرات بنیادی، بیش از پیش تقویت شده است. ابداع و کاربرد مفاهیم جدید ریاضی در «دوره اولیه» نظریه ریسمان هم سابقه داشته و از جمله منجر به نمایشهای کانس مودی<sup>۳</sup> و جبرهای ویرازورو<sup>۴</sup>، عملگرهای راس و ابرتقارن شده است. ولی از زمان شروع کار مهم گرین و شوارتس در ۱۹۸۲ در زمینه حذف بی‌هنجاری، این تأثیرات متقابل روبه فزونی نهاد. به ویژه با کشف خمینه‌های کالابی-یاو به عنوان [حاصل] فشرده‌سازی ریسمانهای مختلف و چشم‌اندازهای نویدبخش پدیده شناختی که بر اثر کارهای اولیه ویتن هویدا شد، بسیاری از روشهای هندسه جبری وارد میدان شد.

بیشتر این پیشرفتها بر پایه صورتبندی اختلالی نظریه ریسمان، خواه در صورتبندی لاگرانژی‌اش برحسب نگاشتهایی از رویه‌های ریمانی به توی خمینه‌ها و یا برحسب کوانتتش فضاهای حلقه<sup>۵</sup> بوده است. ولی این رویکرد اختلالی تنها یک توصیف تقریبی است از آنچه به ازای مقادیر کوچک پارامتر کوانتس رخ می‌دهد.

اخیراً پیشرفت زیادی در توصیف بنیادی‌تری از نظریه ریسمان که گاه نظریه M نامیده می‌شود، به دست آمده است. چنین می‌نماید که این نظریه، سه نظریه بزرگ فیزیک نظری قرن بیستم و شاخه‌های ریاضی مرتبط با آن را با هم متحد می‌کند:

- نسبیت عام، نظریه‌ای که طبق آن گرانش را می‌توان با هندسه ریمانی فضا-زمان توصیف کرد. شاخه‌های ریاضی مربوط به آن عبارت‌اند از توپولوژی، هندسه دیفرانسیل، هندسه جبری و آنالیز سراسری.

- نظریه پیمانه‌ای، که توصیف‌کننده نیروهای بین ذرات بنیادی با به کار بردن هموستارهای روی کلافهای برداری است. این موضوع در ریاضیات با

1. connection 2. 't Hooft 3. Kac-Moody 4. Virasoro  
5. loop spaces

1. brane 2. De Rham complexes 3. genus 4. handle

ریمان بهترین چارچوب باشد [۷]. این فرضیه تا حدودی درست است، اما به طور کلی، تحلیل مستقیم نظریهٔ میدان ریمان کاری دشوار است. به ویژه ظهور شامه‌ها، اشیای گسترده از بعد بالاتر، که در ادامه بحث نقش مهمی خواهند داشت، اغلب کم‌رنگ است.

به طور خلاصه، می‌توان دو نوع دگردهی را از هم تمیز داد: اثرات ریمانی پارامتربندی شده توسط  $\alpha'$  و اثرات کوانتومی پارامتربندی شده توسط  $g$ . این وضعیت را می‌توان با نمودار زیر نشان داد:

$\alpha'$ بزرگ	نظریهٔ میدان همدیس ریمانها	نظریهٔ M
$\alpha' \approx 0$	مکانیک کوانتومی ذرات	نظریهٔ میدانهای کوانتومی میدانها
	$g \approx 0$	$g$ بزرگ

شاید مناسب‌تر باشد که بعضی شاخه‌های ریاضی مربوطه و ریاضیدانان پیشرو در آنها را در جدولی مشابه بیاوریم

$\alpha'$ بزرگ	کوهومولوژی کوانتومی (گرموف، ویتن)	هندسهٔ ناحیه‌جایی (کن)
$\alpha' \approx 0$	نوردهای ترکیباتی گره (واسیلیف، کوتسویچ)	خمینه‌های ۳ بعدی، گره‌ها (دانلدسن، ویتن، جونز)
	$g \approx 0$	$g$ بزرگ

## ۲. مکانیک کوانتومی و ذرات

برای زمینه‌سازی، بحث را با مرور مختصر مکانیک کوانتومی ذرات نقطه‌ای به زبان مجردتر ریاضی شروع می‌کنیم.

در مکانیک کلاسیک، ذرات نقطه‌ای روی یک خمینهٔ ریمانی  $X$  که به عنوان فضای-زمان اقلیدسی در نظر گرفته می‌شود، توصیف می‌شوند. به بیان دقیق‌تر،  $X$  از طریق نگاشتهای  $X: pt \rightarrow X$  از یک نقطهٔ مجرد به توی  $X$  بررسی می‌شود. مکانیک کوانتومی به فضای پیکربندی کلاسیک  $X$ ، فضای هیلبرت  $\mathcal{H} = L^2(X)$  از توابع موج مربع‌انتگرال‌پذیر را نظیر می‌کند. می‌خواهیم این فضای هیلبرت را فضای وابسته به یک نقطهٔ  $\mathcal{H} = \mathcal{H}_p$  در نظر بگیریم. برای یک ذرهٔ نقطه‌ای ابرمتقارن، می‌خواهیم متغیرهای جابه‌جایی و پادجابه‌جایی را به همراه یک عملگر پوچ توان که این دو را به هم مربوط می‌سازد، داشته باشیم. این ساختار، به شکل مجتمع ذرات توپولوژی جبری، در ریاضیات کاملاً شناخته شده است. به بیان دقیق‌تر، مختصات بوزونی  $X^\mu$  و متغیرهای فرمیونی  $\theta^\mu$  را داریم که در رابطهٔ  $\theta^\mu \theta^\mu = -\theta^\mu \theta^\mu$  صدق می‌کنند. ابربار  $d$  که بیان‌کنندهٔ ابرتقارن است به صورت

$$d(X^\mu) = \theta^\mu, \quad d(\theta^\mu) = 0$$

عمل می‌کند. از نظر هندسی، متغیرهای فرمیونی به عنوان ۱-فرمهای  $\theta^\mu = dx^\mu$  در نظر گرفته می‌شوند. بنابراین، تابع موج ابرمتقارن  $\Psi(x, \theta)$

اجمالاً می‌توان گفت که نظریهٔ کوانتومی به یک شیء هندسی (خمینه، گره، نگاشت) عددی، اغلب یک عدد مختلط، وابسته می‌کند که نشان‌دهندهٔ دامنهٔ احتمالاتی است که قوانین مکانیک کوانتومی به یک فرایند فیزیکی معین که با آن شیء هندسی نمایش داده می‌شود، نسبت می‌دهند. به عنوان مثال، یک گروه در  $\mathbb{R}^2$  می‌تواند نشان‌دهندهٔ جهان خط یک ذرهٔ خاص، و خمینه‌ای برای یک فضای-زمان خاص باشد. به محض اینکه اعداد مشخص به اشیای هندسی وابسته می‌شوند، می‌توان عملهای مختلف جبری را روی آنها انجام داد. در نظریهٔ گره‌ها مفهومی برای مربوط ساختن گره‌ها به یکدیگر از طریق روابط بازگشتی (روابط اسکین) و یا حتی مشتق‌گیری (نوردهای واسیلیف) وجود دارد. به این ترتیب کوانتس می‌تواند به عنوان نگاشت

جبر  $\rightarrow$  هندسه

تلفی شود که هندسه را به قلمرو جبر می‌برد. این امر همان‌گونه که در مثالهای بعدی خواهیم دید، چشم‌اندازهای جدیدی در برابر ما می‌گشاید.

## ۴.۱ نظریهٔ ریمان به عنوان دگردهی هندسهٔ کلاسیک

در این سخنرانی، به خاطر اهداف آموزشی، نظریهٔ ریمان در ریاضیات را به صورت خانواده‌ای دویارامتری از دگردهیهای هندسهٔ ریمانی کلاسیک در نظر می‌گیریم. بگذارید این دو پارامتر را فعلاً به صورت نادقیق معرفی کنیم (بعداً راجع به آنها توضیح دقیق‌تری خواهیم داد).

ابتدا، در نظریهٔ ریمان اختلالی، حلقه‌ها را در خمینهٔ فضای-زمان مورد مطالعه قرار می‌دهیم. فرض بر این است که این حلقه‌ها دارای طول ذاتی  $h$ ، یعنی طول ریمان هستند. به دلیل متاهی بودن اندازهٔ ریمان، هندسهٔ بکار برده شده لزوماً هندسهٔ فازی است. حداقل از لحاظ شهودی واضح است که در حد  $h \rightarrow 0$  ریمان به یک نقطه، حلقه‌ای ثابت، تقلیل می‌یابد و به هندسهٔ کلاسیک می‌رسیم. پارامتر  $h$  میزان «ریمانی بودن» مدل را معین می‌کند. خواهیم دید که کمیت  $\alpha' = h$  نقش ثابت پلانک را در جهان صفحهٔ ریمان دارد؛ به عبارت دیگر، تصحیح کوانتومی نظریهٔ میدان دوبعدی را در جهان صفحهٔ ریمان کنترل می‌کند.

دگردهی دیگر هندسهٔ کلاسیک با این واقعیت سروکار دارد که ریمانها می‌توانند پاره شوند و به هم متصل شوند و رویهٔ  $\Sigma$  با توپولوژی معمولی را در فضای-زمان بربند. طبق قوانین عمومی مکانیک کوانتومی باید یک عمل جمع روی تمام توپولوژیها انجام دهیم. چنین جمعی روی توپولوژیها را هنگامی می‌توان تحت کنترل داشت که یک پارامتر صوری  $g$  را به عنوان جفت‌شدگی ریمان معرفی کنیم به طوری که رویه‌ای از گونای  $h$  وزنی برابر  $g^{2h-2}$  داشته باشد. توپولوژیهای با گونای بالا را به عنوان فرایندهای مجازی که در آنها ریمانها پاره و به هم متصل می‌شوند، یک نوع پدیدهٔ کوانتومی-تلفی می‌کنیم. بنابراین، پارامتر  $g$  تصحیحات کوانتومی را کنترل می‌کند. می‌توان  $g$  را با ثابت پلانک در فضای-زمان یکسان گرفت. تنها به ازای مقادیر کوچک  $g$ ، نظریهٔ ریمان می‌تواند بر حسب فضاهای حلقه و جمع روی رویه‌ها بیان شود. در واقع، در مورد ذرات می‌دانیم که به ازای مقادیر بزرگ  $g$ ، بهتر است مسأله را از دیدگاه موج، یا به طور دقیق‌تر میدانهای کوانتومی، بررسی کنیم. در این صورت می‌توان انتظار داشت که به ازای  $\alpha'$  و  $g$ های بزرگ، نظریهٔ میدان

را ایفا می‌کنند. حالات پایه در مکانیک کوانتومی ابرمتقارن در معادله  $H\Psi = 0$  صدق می‌کنند و لذا فرمهای همساز

$$d\Psi = 0, \quad d^*\Psi = 0$$

هستند و به همین علت در تناظر یک به یک با گروه کوهومولوژی ذرام خمینه فضا-زمان قرار می‌گیرند:

$$\Psi \in \text{Harm}^*(X) \cong H^*(X).$$

در اینجا تذکر دو نکته را لازم می‌دانیم. اول اینکه می‌توانیم یک خمینه یک‌بعدی بسته، یعنی دایره‌ای چون  $S^1$  یا طول  $t$  را نیز در نظر بگیریم. از آنجا که دایره با یکی کردن دو سر یک بازه حاصل می‌شود می‌توان نوشت

$$Z_{S^1} = \text{Tr}_{\mathcal{H}} \Phi_t$$

که در اینجا تابع افراز [پارش]  $Z_{S^1}$  عددی است وابسته به دایره  $S^1$  که طیف عملگر  $\Delta$  را کدگذاری می‌کند. همچنین می‌توان تابع افراز ابرمتقارن را با استفاده از عدد فرمیونی  $F$  (که به صورت درجه فرم دیفرانسیل وابسته تعریف می‌شود) محاسبه کرد. به این ترتیب عدد اویلر

$$\text{Tr}_{\mathcal{H}}(-1)^F \Phi_t = \dim H^{\text{ev}}(X) - \dim H^{\text{od}}(X) = \chi(X)$$

محاسبه می‌شود.

دوم اینکه، به این ترتیب تمام جهان خطهای ذرات مجهز به یک متریک، یعنی یک طول مسیر  $t$ ، می‌شوند. برای حرکت از مکانیک کوانتومی به سمت انتشار یک ذره در نظریه میدان کوانتومی، باید روی این متریک انتگرال گرفت. در مورد یک بازه، به این طریق، انتشاردهنده یک ذره بدون جرم، یعنی تابع گرین لاپلاسی  $\Delta$

$$G = \int_0^\infty dt e^{t\Delta} = \frac{1}{\Delta}$$

حاصل می‌شود. در اینجا  $G(x, y)$  یک انتگرال هسته در نظر گرفته می‌شود که در معادله

$$\Delta_x G(x, y) = \delta(x, y)$$

صدق می‌کند و دامنه احتمال حرکت یک ذره را از  $x$  به  $y$  توصیف می‌کند. پس از اعمال تبدیل فوریه، می‌توان آن را با بیانی بسیار نزدیک‌تر به فیزیک برحسب متغیر تکانه  $p$  به صورت  $G = 1/p^4$  نوشت.

### ۳. ریسمانها و نظریه میدان همدیس

اکنون اولین پارامتر دگرذیسی یعنی  $\alpha'$  را معرفی می‌کنیم و ذرات نقطه‌ای و مکانیک کوانتومی را به ریسمانها و نظریه میدان همدیس تعمیم می‌دهیم.

به صورت یک برهم‌نهی خطی فرمهای دیفرانسیل روی  $X$  تعبیر می‌شود:

$$\Psi(x, \theta) = \sum_{\mu_1, \dots, \mu_n} \Psi_{\mu_1, \dots, \mu_n} dx^{\mu_1} \wedge \dots \wedge dx^{\mu_n}$$

لذا، در این حالت فضای هیلبرت توسط فضای فرمهای دیفرانسیل ذرام (مربع-انتگرال‌پذیر)  $\mathcal{H} = \Omega^*(X)$  مشخص می‌شود. از دیدگاه کلاسیک، ذره می‌تواند در لحظه  $t$  از یک نقطه  $x$  در طول مسیر مشخصی، معمولاً یک مسیر زودزیک، به سمت یک نقطه  $y$  حرکت کند. از دیدگاه مکانیک کوانتومی، یک عملگر تحول خطی

$$\Phi_t: \mathcal{H} \rightarrow \mathcal{H}$$

وجود دارد که این تحول زمانی را نشان می‌دهد. این عملگر از طریق انتگرال مسیری فاینمن، با نگاشتهایی از بازه  $t$  به طول  $t$  به توی  $X$  نظیر می‌شود. به بیان دقیق‌تر، هسته  $\Phi_t(x, y)$  عملگر  $\Phi_t$  را ارائه می‌دهد که دامنه احتمال ذره واقع در مکان  $x$  را که در زمان  $t$  به مکان  $y$  برسد، نشان می‌دهد و توسط انتگرال مسیری

$$\Phi_t(x, y) = \int_{x(\tau)} \mathcal{D}_x \exp \left[ - \int_0^t d\tau |\dot{x}|^2 \right]$$

بیان می‌شود، که در آن اندازه مناسب روی فضای تمام مسیره‌های  $x(\tau)$  با شرط  $x(\tau) = y$  و  $x(0) = x$  است.  $\Phi_t$  یک شیء مشهور ریاضی یعنی هسته انتگرال معادله گرماست:

$$\frac{d}{dt} \Phi_t = \Delta \Phi_t, \quad \Phi_0 = \delta(x - y).$$

این چنین انتگرالهای مسیری دارای خاصیت طبیعی «به هم چسبیدن» هستند، به این معنی که اگر تحول ابتدا در یک زمان  $t_1$  و سپس در زمان  $t_2$  صورت گیرد، هم‌ارزاست با تحول در زمان  $t_1 + t_2$ ، یعنی نگاشتهای خطی وابسته به آن دارای ویژگی ترکیب هستند:

$$\Phi_{t_1} \circ \Phi_{t_2} = \Phi_{t_1+t_2}. \quad (1)$$

این خاصیت وجود رابطه  $\Phi_t = e^{-tH}$  را که در آن  $H$  عملگر همیلتنی است امکان‌پذیر می‌سازد. برای ذره واقع در  $X$ ، عملگر همیلتنی به سادگی توسط منهای لاپلاسی  $H = -\Delta$  مشخص می‌شود. خاصیت (۱) یک خاصیت عمومی نظر به‌های میدان کوانتومی است. این رابطه به دیدگاه تابعگونی زیگل [۹] درباره نظریه میدان کوانتومی می‌انجامد که آن را تابعگونی بین رسته‌های خمینه‌ها (با بوردیسیم‌ها) و فضاهای برداری (با نگاشتهای خطی)، در نظر می‌گیرد.

در حالت ابرمتقارن، همیلتنی به صورت

$$H = -\Delta = -(dd^* + d^*d)$$

نوشته می‌شود، که در آن دیفرانسیلهای  $d$  و  $d^*$  نقش ابربارهای

$$d = \psi^{\mu} \frac{\partial}{\partial x^{\mu}}, \quad d^* = \psi^{\mu\nu} \frac{\partial}{\partial \psi^{\mu} \partial x^{\nu}}$$

۱.۳ مدل‌های سیگما

ریمان را می‌توان یک حلقه پارامتری شده در نظر گرفت. پس در این حالت، خمینه  $X$  از طریق نگاشتهای  $X \rightarrow S^1 : x$  و به عبارت دیگر از طریق فضای حلقه‌های آزاد  $\mathcal{L}X$  مورد مطالعه قرار می‌گیرد.

کوانتش، یک فضای هیلبرت را به این فضای حلقه وابسته می‌سازد. به‌طور کلی می‌توان این فضای هیلبرت را به صورت  $L^1(\mathcal{L}X)$  در نظر گرفت، اما بهتر است آن را به‌عنوان کوانتش یک ضخامت بی‌اندازه کوچک مکان هندسی حلقه‌های ثابت  $X \subset \mathcal{L}X$  در نظر بگیریم. این حلقه‌های ثابت نقاط ثابت تحت عمل بدیهی  $S^1$  روی فضای حلقه هستند. کلاف قائم بر  $X$  در  $\mathcal{L}X$  تحت این عمل  $S^1$  به‌ویژه فضاهای تجزیه می‌شود و این (برای بخش بزرگی از  $X$ ) توصیفی از فضای هیلبرت  $\mathcal{H}_{S^1}$  وابسته به دایره، به‌عنوان برشهای بهنجارشده کلاف فضای فاک نامتناهی روی  $X$  است:

$$\mathcal{H}_{S^1} = L^1(X, \mathcal{F}_+ \otimes \mathcal{F}_-)$$

که در آن کلاف فاک به صورت

$$\mathcal{F} = \bigotimes_{n \geq 1} S_{\eta^n}(TX) = \mathbb{C} \oplus qTX \oplus \dots$$

تعریف می‌شود. در اینجا متغیر صوری  $q$  برای مشخص کردن  $\mathbb{Z}$ -درجه‌بندی  $\mathcal{F}$  به‌کار می‌رود و از نمادگذاری استاندارد

$$S_{\eta}V = \bigoplus_{N \geq 0} q^N S^N V$$

برای تابع مولد ضربهای متناوب فضای برداری  $V$  استفاده می‌شود. وقتی یک ریمان در زمان حرکت می‌کند، یک رویه  $\Sigma$  را می‌روید. برای یک ریمان آزاد،  $\Sigma$  توپولوژی  $S^1 \times I$  را دارد، ولی بدون از دست رفتن کلیت موضوع می‌توان ریسمانهایی را در نظر گرفت که یاره و به هم متصل می‌شوند. در این حالت  $\Sigma$  رویه جهت‌داری یا توپولوژی دلخواه است. لذا در صورتبندی لاگرانژی می‌توان نگاشتهای  $X \rightarrow \Sigma : x$  را در نظر گرفت. همان‌گونه که در سخنرانیهای دیگر توضیح داده شده است، اگر یک ساختار هندسی و یا ستاره‌های  $\Sigma$  روی  $\Sigma$  (به همراه یک متریک ریمانی  $g$  روی  $X$ ) را در نظر بگیریم:

$$S(x) = \int_{\Sigma} g_{\mu\nu} dx^{\mu} \wedge * dx^{\nu}$$

نقاط بحرانی  $S(x)$  نگاشتهای همساز هستند.

در صورتبندی کوانتش لاگرانژی می‌توان روی تمام نگاشتهای  $X \rightarrow \Sigma : x$  انتگرال مسیری صوری

$$\Phi_{\Sigma} = \int_{x: \Sigma \rightarrow X^{-1} \cdot S^{-1} \cdot \alpha'}$$

را در نظر گرفت.  $\alpha'$  در اینجا نقش ثابت پلانک را روی جهان صفحه ریمان یعنی  $\Sigma$  دارد.  $\alpha'$  می‌تواند با معیاس‌بندی مجدد متریک به صورت  $g \rightarrow \alpha' \cdot g$  در حجم خمینه هدف  $X$  ادغام شود. لذا حد نیمه کلاسیک  $\alpha' \rightarrow 0$  معادل است با حد  $vol(X) \rightarrow \infty$ .

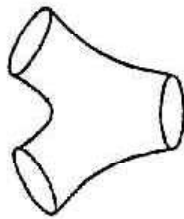
۲.۳ توصیف تابعگونی

در توصیف تابعگونی نظریه میدان کوانتومی، نگاشتهای  $\Sigma$  از تعریف مدل سیگما حذف می‌شوند.

نقطه شروع کار در اینجا یک رویه ریمانی مرزدار دلخواه (بسته و جهت‌دار)  $\Sigma$  است. مرز آن مرکب از مجموعه‌ای از دایره‌های جهت‌دار است. می‌توان برحسب اینکه جهت دایره‌ها با جهت  $\Sigma$  سازگار باشد یا نباشد، آنها را رو به درون یا رو به بیرون در نظر گرفت. به رویه  $\Sigma$  با  $m$  مرز رو به درون و  $n$  مرز رو به بیرون می‌توان یک نگاشت خطی  $\mathcal{H}_{\Sigma}^{\otimes m} \rightarrow \mathcal{H}_{\Sigma}^{\otimes n}$  نظیر  $\Phi_{\Sigma} : \mathcal{H}_{\Sigma}^{\otimes m} \rightarrow \mathcal{H}_{\Sigma}^{\otimes n}$  نظیر کرد. این نگاشتهای خطی از هم مستقل نیستند، اما در اصول به هم چسباندن

$$\Phi_{\Sigma_1} \circ \Phi_{\Sigma_2} = \Phi_{\Sigma}$$

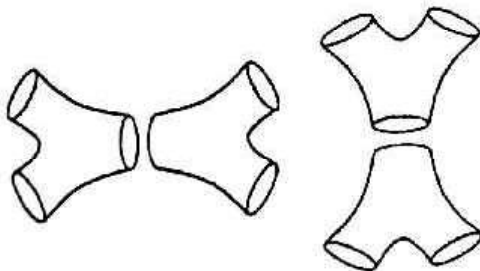
صدق می‌کنند که تعمیم قانون ساده ترکیب (۱) است.  $\Sigma$  از به هم چسباندن  $\Sigma_1$  و  $\Sigma_2$  در طول مرزهای، به ترتیب، برونسوی و درونسوی آنها حاصل می‌شود. به این ترتیب، تابعگونی مدولی [پیمانه‌ای] به دست می‌آید. این تابعگونی دارای ساختار غنی جبری است. مثلاً کره با سه سوراخ



به حاصلضرب

$$\Phi : \mathcal{H}_{S^1} \otimes \mathcal{H}_{S^1} \rightarrow \mathcal{H}_{S^1}$$

منجر می‌شود. با توجه به این واقعیت که می‌توان کره‌ای چهار سوراخ از چسباندن دو نسخه از کره سه سوراخ به دست آورد، می‌توان نشان داد که این حاصلضرب اساساً جابه‌جایی و شرکت‌پذیر است.



بیان این رابطه برحسب دامنه‌های انتقال، به معادلات دیفرانسیل نابدیهی و سلسله‌مراتب انتگرال‌پذیر منجر می‌شود. برای ملاحظه جزئیات بیشتر به [۴]. [۸] رجوع کنید.

۳.۳ هندسه ریمانی و T-دوگانگی

مدلهای سیگمای دوبعدی یک دگردهی یک پارامتری طبیعی برای هندسه کلاسیک فراهم می‌آورند. پارامتر دگردهی ثابت پلانک  $\alpha'$  است. در حد

پایه‌ای برای  $\mathcal{H} = L^1(T)$  تشکیل می‌دهند که همبستگی  $H = -\Delta = p^1$  را فظری می‌کند. لذا می‌توان فضای هیلبرت را به صورت

$$\mathcal{H} = \bigoplus_{p \in L^*} \mathcal{H}_p$$

تجزیه کرد که قطعه‌های  $\mathcal{H}_p$  همگی یک‌بعدی‌اند. یک عمل طبیعی گروه تقارن

$$G = SL(n, \mathbb{Z}) = \text{Aut } L$$

روی شبکه  $\Gamma = L$  و فضای هیلبرت  $\mathcal{H}$  قابل تعریف است. (در حالت کلی این تبدیلات متریک را ناوردانگه نمی‌دارند، ولی در عوض با پاسوری<sup>۱</sup> متریک تخت دیگری روی  $T$  به دست می‌دهند.)

در حالتی که یک ریسمان روی چنبره  $T$  حرکت می‌کند، حالتها توسط یک عدد کوانتومی دیگر، یعنی عدد پیچ<sup>۲</sup> آنها  $w \in L$  برچسب‌گذاری می‌شوند. این عدد در واقع ردهٔ پیکربندی کلاسیک متناظر در  $\pi_1 T$  است. چون  $\pi_1 T \cong L$ ، عدد پیچ مؤلفه‌های مختلف همبند فضای حلقه  $LT$  را متمایز می‌سازد. لذا شاهد رخداد طبیعی شبکه‌ای به نام شبکه نارین<sup>۳</sup>، که مجموعهٔ تکانه‌های  $p \in L^*$  و اعداد پیچ  $w \in L$  است هستیم:

$$\Gamma^{n,n} = L \oplus L^*$$

این شبکه، یک شبکهٔ خوددوگان زوج و دارای نشان<sup>۴</sup>  $(n, n)$  است با ضرب داخلی

$$p = (w, k), \quad q^1 = 2w \cdot k.$$

معلوم می‌شود که همهٔ تقارنهای شبکه  $\Gamma^{n,n}$ ، به تقارنهای نظریهٔ میدان همدیس کامل که با کوانتش فضای حلقه ساخته می‌شود، ارتقا می‌یابند. عناصر گروه تقارن شبکه نارین

$$SO(n, n, \mathbb{Z}) = \text{Aut } \Gamma^{n,n}$$

مثالهایی از T-دوگانها هستند. یک مثال خاص، تعویض چنبره با دوگان آن است:  $T \mapsto T^*$ .

T-دوگانهایی را که چنبره را با دوگاننش عوض می‌کنند می‌توان تار به تار هم به‌کار برد. اگر یک تار بندی  $B \rightarrow X$  برای خمینه  $X$  داشته باشیم، که در آن تارها چنبره‌اند، می‌توانیم تار بندی دوگان را با دوگان کردن تمام تارها به دست آوریم. این کار منجر به پدید آمدن خمینهٔ جدید  $B \rightarrow X$  خواهد شد و تحت شرایط مناسب، یک مدل سیگمای ابرمتقارن هم‌ارز حاصل خواهد شد. تقارنی که این دو خمینه را به یکدیگر تبدیل می‌کند،  $X \leftrightarrow X$ ، تقارن آینه‌ای نام دارد ([۲]، [۳]).

۵.۳ ریسمانهای توپولوژیک، کوهومولوژی کوانتومی، و تقارن آینه‌ای در حالت ذرات نقطه‌ای، از آنجا که فرمهای دیرانسلیل را به‌طور طبیعی روی فضای هدف بنا می‌کنیم، در نظر گرفتن تعمیم ابرمتقارن آموزنده است.

$\alpha' \rightarrow 0$  توجه خود را به حلقه‌های ثابت معطوف می‌کنیم و به مکانیک کوانتومی یا نظریهٔ ذرات نقطه‌ای برمی‌گردیم. برای  $\alpha'$  ناصفر حلقه‌های غیر ثابت ظاهر می‌شوند.

در حقیقت می‌توان فضای مدولی [مدولهای<sup>۱</sup>] نظریهٔ میدان کوانتومی را به صورت زیر به تصویر کشید. این فضا دارای مؤلفه‌هایی است که می‌توانند برحسب فضای هدف  $X$  بیان شوند. برای این مدلهای، این طبقه بندی، متریکهای ریچی-تخت و یک انتخاب از میدان  $B$  را پارامتری می‌کند.<sup>۲</sup> این مؤلفه‌ها یک مرز «در بینهایت» دارند که بزرگی حجم خمینه را نشان می‌دهد. می‌توان پارامتر  $\alpha'$  را به عنوان مختصات عمودی موضعی روی یقهٔ اطراف این مرز در نظر گرفت. لذا، مرز در مکان  $\alpha' = 0$  واقع است که می‌توان آن را حد کلاسیک نظریهٔ میدان کوانتومی دوبعدی در نظر گرفت. با عبور از این مرز، اصلاحات ریسمانی شروع می‌شوند. در میانهٔ فضای مدولی ممکن است پدیده‌های غریبی رخ دهند. به‌طور مثال، گروه خودریختی نظریهٔ میدان کوانتومی ممکن است از دست برود و این منجر به پدید آمدن تکنیکهای آریبلند در نقاط تقارن خواهد شد.

نکتهٔ بسیار جالب توجه این است که فضای مدولی می‌تواند مرز دیگری داشته باشد، یعنی در  $\alpha' \rightarrow \infty$ ، که تغییر نیمه کلاسیک دیگری برحسب هندسهٔ کلاسیک دیگری مثلاً  $X$  است. در اینجا پارامتر کوچک  $1/\alpha'$  است. این نقاط مشابه حجم کوچک یا کوانتومی برحسب متغیرهای اصلی روی  $X$  هستند و لذا تحلیل آنها بسیار مشکل است، زیرا در این حالت تا آنجا که ممکن است از حد کلاسیک دور هستیم. اما همچنان می‌توانند به عنوان حجم بزرگ برحسب مجموعه‌ای از متغیرهای دوگان روی خمینهٔ آینه یا دوگان  $X$  بیان شوند. در این حالت، بحث T-دوگانی مطرح می‌شود. به این ترتیب دو خمینهٔ  $X$  و  $X$  هر دو به یک نظریهٔ میدان کوانتومی منجر می‌شوند، به هم مربوط‌اند.

ساده‌ترین مثال از چنین T-دوگانی در فشرده‌سازی چنبره‌ای رخ می‌دهد. اگر  $X = T$  یک چنبره باشد، نظریهٔ میدان کوانتومی روی  $T$  و روی دوگان آن  $T^*$  یکریخت‌اند. ما اکنون با تفصیل بیشتری به این مطلب می‌پردازیم. این نوع T-دوگانها منجر به کاربرد ریاضی جالب توجهی در تقارن آینه‌ای شده است، که ما مروری بر آن خواهیم داشت.

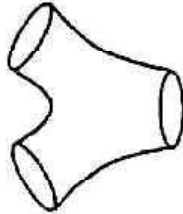
### ۴.۳ ذرات و ریسمانهای روی چنبره

یک ذره یا ریسمانی در یک فضا-زمان را که توسط یک چنبره  $n$  بعدی به صورت خارج قسمت  $T = \mathbb{R}^n / L$  داده شده است، در نظر بگیریم.  $L$  یک شبکه با رتبهٔ  $n$  است.

حالتهای ذره نقطه‌ای مکانیک کوانتومی روی چنبره توسط تکانهٔ آنها،  $p \in L^*$ ، به طرز مناسبی برچسب‌گذاری می‌شوند. توابع موج  $\Psi(x) = e^{ipx}$  moduli space: برای این اصطلاح، برابر نهاد «فضای پیمانه‌ها» یا «فضای پیمانه‌ای» در زبان ریاضی فارسی مناسب‌تر است. ولی چون واژهٔ «پیمانه» در فیزیک منحصرأ برای gauge یا gage به‌کار می‌رود و احتمال خلط معنا برای خوانندگان اهل فیزیک می‌رفت، اصطلاح «فضای مدولی» را ترجیح دادیم. ضمناً صفت «مدولی» را در موارد دیگر مانند «رستهٔ مدولی» یا «هندسهٔ مدولی» هم به‌کار بردیم که واژهٔ مناسب‌تر در ریاضی، «پیمانه‌ای» است. م.

۲. توضیح اینکه میدان  $B$  یک ۲-فرم است که  $dB$  پیچش (torsion) فضای هدف است. م.

تقاطع سه رده  $A, B, C$  را به دست می دهد. به عبارت دیگر، تعداد نقاط (با احتساب علامتها) در  $A \cap B \cap C$  را می شمارد. در حالت مدل  $A$  باید فرض کنیم که  $X$  یک خمینه کیلری یا حداقل یک خمینه همافتة  $1$  با فرم همافتة  $\omega$  است. اکنون حاصلضرب تقاطعی «ریسمانی» به سه رأس ریسمانی مربوط می شود:



از دیدگاه ریاضی تعریف زیر را داریم

$$I_{qu}(\alpha, \beta, \gamma) = \sum_d q^d \int_{Map^d} \alpha \wedge \beta \wedge \gamma$$

که در آن انتگرال گیری فرمهای دیفرانسیل روی فضای مدولی نگاشتهای شبه تماریخت با درجه  $d$  از یک کره به توی خمینه  $X$  صورت می گیرد. به این نگاشتها توسط عمل اینستانتونی کلاسیک

$$q^d = \exp \left[ -\frac{1}{\alpha'} \int_{S^1} \omega \right] = e^{-(d \cdot [\omega]) / \alpha'}$$

وزن داده می شود. در حد  $\alpha' \rightarrow 0$  تنها نگاشتهای درجه صفر حضور دارند، اما این نگاشتها لزوماً ثابت اند و لذا تعریف کلاسیک حاصلضرب تقاطعی را به توسط انتگرال روی فضای  $X$  باز می یابیم. از نظر هندسی، می توان حاصلضرب تقاطعی کوانتومی را چنین توجیه کرد: این حاصلضرب کره های شبه تماریخت درون  $X$  را که هریک از دورهای  $A, B$  و  $C$  را قطع می کنند، می شمارد. لذا در حالت کوانتومی دیگر لازم نیست این دورها یکدیگر را قطع کنند. کافی است یک کره شبه تماریخت با نقاط  $a, b, c \in A$  که  $a \in A$  و  $b \in B$  و  $c \in C$  وجود داشته باشد، یعنی یک جهان صفحه ریمان باشد که از هر سه عبور کند.

در مدل  $B$  می توانیم توجه خود را به نگاشتهای (تقریباً) ثابت محدود کنیم. این مدل تنها به ساختار مختلط مدولی  $X$  بستگی دارد. مهم ترین جنبه آن این است که تقارن آینه ای مدل  $A$  را با مدل  $B$  تعویض می کند. مثال مشهوری از قدرت تقارن آینه ای محاسبه اولیه خمینه کالابی-یائو به دست کاندلاس و همکارانش [۱۵] است که در  $\mathbb{P}^2$  با رابطه زیر مشخص می شود:

$$X : x_0^5 + x_1^5 + x_2^5 + x_3^5 + x_4^5 = 0.$$

در این حالت، محاسبه مدل  $A$  منجر به رابطه

$$F(q) = \sum_d n_d q^d$$

می شود که در آن  $n_d$  معرف تعداد خمهای گویای از درجه  $d$  در  $X$  است. (به بیان دقیق تر، این کمیتها چیزی را نمی شمارند بلکه به طور تقریبی به عنوان اعداد

این فرمهای دیفرانسیل، که از طریق مجتمع ذرام به دست می آیند، می توانند توپولوژی خمینه را کنترل کنند. در واقع، با تقلیل نظریه به حالات پایه، فرمهای همساز که نمایشهای منحصر به فرد گروههای کوهومولوژی هستند، حاصل می شوند. و این قدمی است از آنالیز تابعی و نظریه عملگرها به سوی توپولوژی همین طور، صورتبندی ای از نظریه ریمان وجود دارد که توپولوژی پیکربندی ریمان را دربر دارد و آن را نظریه توپولوژیک ریمان می نامیم. این موضوع بسیار فنی و پیچیده است و از محدوده این سخنرانی فراتر می رود. ولی من شرح مختصری از جنبه های اساسی آن خواهم داد. برای ملاحظه جزئیات بیشتر به [۳] مراجعه کنید. (یک ویژگی بسیار مهم نظریه توپولوژیک ریمان که آن را هم نمی توانیم به طور کامل در اینجا شرح دهیم، این است که علاوه بر داشتن ساختار غنی و زیبای ریاضی، قادر است برخی دانسته های «توپولوژیک» خیلی خاص را در ابرریمان کاملاً آزاد محاسبه کند و لذا اطلاعات فیزیکی را نیز به دست بدهد.)

ایده کلی مستتر در این نظریه چنین است. ابتدا، همانند حالت ذره نقطه ای، میدانهای فرمیونی  $\theta^{\mu}$  معرفی می شوند. حال اینها به عنوان اسپینورهای با دو مؤلفه  $\theta_L^{\mu}$  و  $\theta_R^{\mu}$  در جهان صفحه دو بعدی در نظر گرفته می شوند. عمل موضعی برای این فرمیونها عبارت است از

$$\int_{\Sigma} d^2 z g_{\mu\nu}(x) \left( \theta_L^{\mu} \frac{D\theta_L^{\nu}}{\partial \bar{z}} + \theta_R^{\mu} \frac{D\theta_R^{\nu}}{\partial z} \right)$$

به علاوه فرض می کنیم که فضای هدف  $X$  (تقریباً) مختلط است و لذا می توان مشخصات موضعی تماریخت  $\mathbb{P}^1$  و  $\mathbb{P}^2$  را با تجزیه ای مشابه فرمیونها به کار برد. اگر این با جملات مراتب بالاتر مناسب تکمیل شود به یک مدل سیگما با ابرتقارن  $\mathcal{N} = (2, 2)$  دست می یابیم.

اکنون می توان با تغییر اسپینهای میدانهای فرمیونی ریمان توپولوژیک را به دست آورد. این کار با دو روش معادل به نام مدل  $A$  و مدل  $B$  صورت می گیرد. بنابر ماهیت این تاب توپولوژیک، انتگرال مسیری مدل سیگما در یک فضای منتهای بعد متمرکز می شود.

مدل  $A$  به نگاشتهای تماریخت

$$\frac{\partial x^{\mu}}{\partial \bar{z}} = 0$$

تحدید می شود. این عمل، انتگرال مسیری روی تمام نگاشتهای از  $\Sigma$  به توی  $X$  را به یک انتگرال منتهای بعد روی فضای مدولی  $\mathcal{M}$  از نگاشتهای تماریخت تقلیل می دهد. به بیان دقیق تر، فضای مدولی جفتهای  $(\Sigma, f)$  است که در آن  $\Sigma$  یک رویه ریمانی و  $f$  یک نگاشت تماریخت  $X \rightarrow \Sigma$  می باشد. مدل  $A$  تنها به رده کیلر  $[\omega] \in H^2(X)$  خمینه  $X$  بستگی دارد. ریسمانهای توپولوژیک مدل  $A$ ، نمونه مهمی از تعمیم ریسمانی ساختار هندسی کلاسیک اند. کوهومولوژی کوانتومی  $([4], [5])$  یک دگردیسی حلقه  $2$  کوهومولوژی ذرام  $H^*(X)$  یک خمینه است. از دیدگاه کلاسیک این حلقه خواص تقاطعی زیرخمینه ها را مشخص می کند. به بیان دقیق تر، اگر سه رده کوهومولوژی  $\alpha, \beta, \gamma \in H^*(X)$  داشته باشیم که دوگان یوانکاره  $1$  زیوارته های  $A, B, C \subset X$  باشند، کمیت

$$I(\alpha, \beta, \gamma) = \int_X \alpha \wedge \beta \wedge \gamma$$

هستیم، باید این را در نظر داشته باشیم که  $A_g$  (که اکنون به یک رویه توپولوژیک با گونای  $g$  وابسته است) همچنان (در میان بقیه پارامترها) به  $\alpha'$  وابسته است. دوم اینکه، در نظر گرفتن دامنه ریمان با یک توپولوژی مفروض به تنهایی کافی نیست. همان طور که در نظریه میدان جمع بندی روی تمام نمودارهای فاینمن ممکن انجام می شود، در نظریه ریمان باید روی تمام توپولوژیهای جهان صفحه ریمان جمع بندی کنیم. در واقع، باید این دامنه ها را به صورت  $A_g \approx \sum_{g \geq 0} g! g^{-1} A_g$  که یک تابع مولد است، جمع بندی کنیم. در اینجا ما ثابت جفت شدگی ریمان یعنی  $g$  را به کار برده ایم. متأسفانه، در حالت کلی این تابع مولد در بهترین وضعیت خود یک بسط سری مجانبی از تابع تحلیلی  $A(g_s)$  است. برآورد غیردقیقی از حجم  $M_g$  نشان می دهد که نوعاً،  $A_g \sim 2g!$ ، و لذا جمع روی توپولوژیهای ریمان همگرا نیست. در واقع، از استدلالهای فیزیکی عمومی چنین برمی آید که دامنه های احتمال غیراختلالی  $A(g_s)$  تصحیحاتی به شکل زیر دارند

$$A(g_s) = \sum_{g \geq 0} g! g^{-1} A_g + \mathcal{O}(e^{-1/g_s}).$$

واضح است که برای دستیابی به تعریف صحیح دامنه های احتمال ریمان، این اصلاحات غیراختلالی باید درک شوند.

#### ۲.۴ نظریه ریمان غیراختلالی

چنانچه در سخنرانیهای دیگر با تفصیل بیشتری بررسی خواهد شد، در سالهای اخیر شاهد پیشرفت قابل توجهی در جهت توسعه چنین صورتبندی غیراختلالی بوده ایم. جالب توجه اینکه، انواع مختلف ریاضیدانان نیز وارد بازی شده اند. این موضوع دو ایده جدید و جالب را در بردارد.

۱. نظریه ریمان نظریه ای درباره ریمانها نیست. در نظر گرفتن فضاهای حلقه و کوانتش آنها به تنهایی کفایت نمی کند بلکه باید اشیای گسترده تر دیگری همچون شامه ها را نیز در نظر داشت. می توان گفت این اشیای وابسته به نگاشتهای کلی تر  $X \rightarrow Y$  هستند که  $Y$  فضای از بعد بالاتر است. اما مسأله این است که کوانتش سازگاری وجود ندارد که از شامه های «کوچک» در راستای خطوط نظریه ریمان شروع شود، به این معنی که بسطی که توسط آن بتوان اندازه  $Y$  را (از طریق  $\alpha'$ ) و توپولوژی را (از طریق  $g$ ) کنترل کرد موجود نیست. ولی از طریق صورتبندی D-شامه ها [۱۱] این مطلب را می توان به طور دقیق در نظریه اختلالی ریمان تحلیل کرد. D-شامه ها سهمی از مرتبه  $e^{-1/g_s}$  دارند و لذا مکمل سری اختلالی مجانبی ریمان هستند.

۲. همان گونه که تأکید کردیم، دامنه های  $A$  به پارامترها و یا مدولهای بسیاری بستگی دارند. بجز جفت شدگی ریمان یعنی  $g_s$ ، تمام مدولهای دیگر تعبیری هندسی برحسب متریک و میدان  $B$  روی  $X$  دارند. نکته جدید دیگر این است که نظریه ریمان روی  $X$  با جفت شدگی ریمان  $g_s$ ، می تواند تعبیری کاملاً هندسی برحسب نظریه ای جدید به نام نظریه  $M$  روی خمینه  $X \times S^1$  داشته باشد که در آن طول دایره  $S^1$  برابر با  $g_s$  است [۱۲].

#### ۳.۴ شامه های روی چنبره

اگر به سراع نظریه ریمان کاملاً غیراختلالی روی چنبره برویم، ماجرا نسبت به آنچه در بخش ۲.۳ دیدیم پیچیده تر می شود. شبکه اعداد کوانتومی اشیای

اولی فضاهای محتملاً تکین معرفی می شوند و لذا در حالت کلی اعدادی گویا هستند. محاسبه این اعداد بسیار دشوار است. عدد  $n_1 = 2875$  برای  $d = 1$  (خطها) نتیجه کلاسیک به دست آمده در قرن ۱۹ است. عدد بعدی  $n_2 = 609250$  تعداد مقطعی مخروطی مختلف در چهار بعد است و در حدود سال ۱۹۸۰ محاسبه شد، و سرانجام تعداد مکعبهای تابدار  $n_3 = 317206275$  با اجرای یک برنامه پیچیده رایانه ای به دست آمده است. ولی اکنون به یمن نظریه ریمان تمام این اعداد را می شناسیم. در جدول زیر اولین ده عدد آورده شده اند

$n_d$	$d$
2875	1
609250	2
317206275	3
24246753000	4
22930599987625	5
248249721118022000	6
295091050570845609250	7
375632160937476603500000	8
503840510416985243645106250	9
7042881644978454686113488249750	10

چگونه فیزیکدانان می توانند این اعداد را محاسبه کنند؟ تقارن آینه ای این کار را انجام می دهد. این تقارن ناوردهای «ریمانی» را که از مدل  $A$  روی خمینه  $X$  می آیند به ناوردهای کلاسیک مدل  $B$  روی خمینه آینه ای  $\tilde{X}$  مربوط می کند. به ویژه این عمل منجر به معادله دیفرانسیل فوکسی تابع  $F(g)$  می شود. با حل این معادله، اعداد صحیح  $n_d$  به دست می آیند.

#### ۴. نظریه ریمان غیراختلالی و شامه ها

دیدیم که چگونه نظریه میدان کوانتومی منجر به ساختاری غنی در قالب هندسه مدولی می شود که برحسب نگاشتهای  $\Phi_{g,n}$  صورتبندی شد. برای حرکت از نظریه میدان کوانتومی به سوی نظریه ریمان باید دو قدم دیگر نیز برداریم.

#### ۱.۴ جمع بندی روی توپولوژیهای ریمان

ابتدا می خواهیم موضوع را به حالتی تعمیم دهیم که نگاشتهای  $\Phi_{g,n}$  تنها توابعی روی فضای مدولی  $M_{g,n}$  رویه های ریمانی نیستند، بلکه فرمهای دیفرانسیل کلیتری هستند. در واقع به حالتی که اینها فرمهای حجمی باشند علاقه مندیم، زیرا در این صورت می توان دامنه های ریمان را به صورت زیر تعریف کرد

$$A_g = \int_{M_g} \Phi_g$$

همان گونه که بعداً خواهیم دید، این همان تعریف ناوردهای گروموفسویتن نیز هست ((۵)، (۴)). گرچه ما قائل به استقلال از مدولهای نظریه میدان کوانتومی



هستند. با وجود  $D$ -شامه‌ها، نوع دوم مرز نیز وجود دارد: ریمان باز با بازه  $I = [0, 1]$ .

پدید آمدن دو نوع مرز فضاگونه به این دلیل است که راه‌های مختلفی برای انتخاب مختص «زمانی» روی رویه ریمانی مرزدار وجود دارد. چنین رویه‌ای همواره به طور موضعی شبیه  $\mathbb{R} \times S^1$  با  $I \times \mathbb{R}$  است. این ابهام در چگونگی برش رویه، ابزار جدید و قدرتمندی در نظریه ریمان باز است.

به نظریه میدان کوانتومی که توسط زوج  $(X, Y)$  بیان می‌شود، یک رسته مدولی تعمیم‌یافته وابسته می‌کنیم. این رسته دو نوع شی یا خمینه یک‌بعدی دارد: دایره  $S^1$  (ریمان بسته) و بازه  $I = [0, 1]$  (ریمان باز). مورفسم [ریختار]های بین خمینه‌های یک‌بعدی، باز بردیسمها یا رویه‌های ریمانی  $\Sigma$  و اکنون با اسکان وجود مرز می‌باشند. اکنون دو نوع فضای هیلبرت داریم: ریمانهای بسته  $\mathcal{H}_S$  و ریمانهای باز  $\mathcal{H}_I$ .

از دیدگاه نیمه‌کلاسیک، فضای هیلبرت ریمان باز عبارت است از

$$\mathcal{H}_I = L^2(Y, \mathcal{F})$$

با کلاف فضای فاک

$$\mathcal{F} = \bigotimes_{n \geq 1} S_{g^n}(TX)$$

توجه کنید که ما تنها یک نسخه از فضای فاک  $\mathcal{F}$  داریم، و شرایط مرزی در انتهای بازه، حرکت‌دهنده‌های راست و چپ را به هم مربوط می‌سازد. همچنین میدانها، برشهای کلاف فضای فاک روی  $D$ -شامه  $Y$  هستند نه روی کل خمینه فضازمان  $X$ . به این معنی، حالت‌های ریمان باز روی شامه قرار می‌گیرند.

### ۱.۵ شامه‌ها و ماتریسها

یکی از واقعیت‌های جالب توجه این است که  $D$ -شامه‌ها را می‌توان با چندگانگی  $N$  مشخص کرد، که به طور طبیعی منجر به یک ساختار ناجابه‌جایی می‌شود [۱۳]. با در دست داشتن یک رسته مدولی، آن‌گونه که در بالا شرح داده شد، راه ساده‌ای برای ضرب تانسوری آن روی ماتریسهای اریتمی  $N \times N$  وجود دارد. کافی است به جای فضای هیلبرت  $\mathcal{H}_I$  وابسته به بازه  $I$ ،  $\mathcal{H}_I \otimes \text{Mat}_{N \times N}$  را با شرط اریتمی بودن

$$(\psi \otimes M_{ij})^* = \psi^* \otimes M_{ji}$$

در نظر بگیریم. نگاشت‌های  $\Phi_\Sigma$  به طریق زیر تعمیم می‌یابند. ابتدا برای سادگی یک رویه  $\Sigma$  با تک مرز  $C$  را در نظر می‌گیریم. فرض می‌کنیم  $C$  شامل  $n$  فضای هیلبرت ریمان باز «ورودی» با حالت‌های  $M_1 \otimes \psi_1, \dots, M_n \otimes \psi_n$  باشد. این حالت‌ها اکنون دارای مقادیر ماتریسی هستند. مورفسم جدید به صورت زیر تعریف می‌شود

$$\Phi_\Sigma(\psi_1 \otimes M_1, \dots, \psi_n \otimes M_n) = \Phi_\Sigma(\psi_1, \dots, \psi_n) \text{Tr}(M_1 \cdots M_n)$$

در حالی که بیش از یک مؤلفه مرزی داریم، برای هر مؤلفه یک اثر اضافی خواهیم داشت.

به‌ویژه، می‌توانیم نمودار قرص با سه تقاطع ریمانی باز را در نظر بگیریم.

مختلف و همین‌طور تقارن‌ها بزرگ‌تر می‌شود. به‌ازای مقادیر کوچک  $n$ ، بعد چنبره  $T(n \geq 4)$ ، مشاهده می‌شود که شبکه بار غیراختلالی  $M$  را می‌توان به صورت مجموع مستقیم شبکه نارین (اعداد پیچ و تکانه ریمانها) با شبکه‌ای که رده‌های همولوژی شامه‌ها را تغییر نمی‌دهد، نوشت:

$$M = \Gamma^{n,n} \oplus \text{Hess}^{n/2}(T).$$

در اینجا توجه داریم که شبکه شامه‌ها (که بسته به نوع نظریه ریمان مورد بحث زوج یا فردند)، یعنی

$$\text{Hess}^{n/2}(T) \cong \wedge^{n/2} L^*$$

به‌عنوان نمایش‌های نیم-اسپینوری تحت گروه  $T$ -دوگانگی  $SO(n, n, \mathbb{Z})$  تبدیل می‌شوند. معلوم می‌شود که گروه کامل دوگانگی، گروه استثنایی اعداد صحیح یعنی  $E_{n+1}(\mathbb{Z})$  است. شبکه  $M$  نمایشی تحویل‌ناپذیر برای این گروه تقارن است. لذا این  $T$ -دوگانها ریمانها را با شامه‌ها جابه‌جا می‌کنند. لذا ملاحظه می‌کنیم که سلسله‌مراتب

$$\{\text{شامه‌ها}\} \subset \{\text{ریمانها}\} \subset \{\text{ذرات}\}$$

در دنباله (زیر) گروه‌های تقارن ذیل که به ترتیب دارای رتبه‌های  $n, n-1$  و  $n+1$  هستند، متعکس است

$$SL(n, \mathbb{Z}) \subset SO(n, n, \mathbb{Z}) \subset E_{n+1}(\mathbb{Z}).$$

یریشی عمیق (و در حالت کلی، بدون جواب) این است که چه ساختار ریاضی «صحیحی» به یک چنبره  $n$ -بعدی وابسته می‌شود به طوری که منجر به پدید آمدن گروه استثنایی  $E_{n+1}(\mathbb{Z})$  می‌گردد.

### ۵. $D$ -شامه‌ها

ابزار مهم برای گسترش نظریه ریمان در ورای نظریه اختلال، شامه‌ها هستند [۱۱]. از دیدگاه ریاضی،  $D$ -شامه‌ها متناظر نسبی نظریه گروموف-ویتن هستند. اکنون نقطه شروع ما یک جفت خمینه نسبی  $(X, Y)$  است که در آن  $X$  یک خمینه  $d$ -بعدی و  $Y \subset X$  بسته است. جهان صفحه‌های ریمان به صورت رویه‌های ریمانی  $\Sigma$  با مرز  $\partial\Sigma$  تعریف می‌شوند و رده نگاشت‌های  $X \rightarrow \Sigma$  در رابطه  $x \in Y$  صدق می‌کنند، یعنی مرز رویه‌های ریمانی باید به زیر فضای  $Y$  نگاشته شود. حرف « $D$ » در  $D$ -شامه‌ها معرف شرایط مرزی دیریکله است که روی مؤلفه‌های نگاشت  $x$  که بر  $Y$  عمودند اعمال می‌شود.

توجه دارید که در توصیف تابعی‌گونی اکنون دو نوع مرز برای رویه‌ها داریم. ابتدا مرزهای زمان‌گونه هستند که هم‌اکنون آنها را وصف کردیم. در اینجا یک شرط مرزی مشخص، یعنی این شرط را که ریمان روی  $D$ -شامه  $Y$  قرار گیرد، انتخاب می‌کنیم و دیگر، مرزهای فضاگونه هستند که قبلاً درباره آنها توضیح داده‌ام. اینها یک جزء اساسی در هر توصیف همیلتنی هستند. روی این مرزها شرایط مقدار اولیه‌ای را در نظر می‌گیریم که در زمان دوباره تولید شوند. در نظریه ریمان بسته، این مرزها بسته و لذا مجموع دایره‌ها

است که زمانی که با اعداد حقیقی ضرب تانسوری شود، یک یکرختی خواهد بود. به این معنا، تناظری یک به یک بین  $D$ -شامه‌ها و رده‌های نظریه  $K$  وجود دارد [۱۶]. ثابت شده است که این ارتباط با نظریه  $K$  بسیار مفید است.

### ۳.۵ مثال: قضیه شاخص

یک مثال خوب از کارایی نقل و انتقال بین ریسمانهای باز و بسته دستیابی طبیعی به قضیه شاخص است. استوانه  $\Sigma = S^1 \times I$  را بین دوتا  $D$ -شامه که توسط کلافهای برداری (مجازی)  $E_1$  و  $E_2$  مشخص می‌شوند، در نظر بگیرید. می‌توان آن را به صورت نمودار ریسمانی بسته با حالت درونی  $|E_1\rangle$  و حالت بیرونی  $|E_2\rangle$  به شکل زیر در نظر گرفت

$$\Phi_\Sigma = \langle E_2, E_1 \rangle$$

با تبدیل حالت مرزی  $D$ -شامه به حالت‌های پایه ریسمان بسته (که به توسط رده‌های کوهمولوژی داده می‌شوند) خواهیم داشت

$$|E\rangle = \mu(E) \in H^*(X)$$

و لذا

$$\Phi_\Sigma = \int_X \text{ch}(E_1) \text{ch}(E_2^*) \hat{A}.$$

از طرف دیگر، همچنین می‌توان استوانه را به عنوان یک اثر روی حالت‌های ریسمان باز، با شرایط مرزی که با  $E_1$  و  $E_2$  کدگذاری می‌شوند، تلفی کرد. حالت‌های پایه در  $\mathcal{H}_I$  برشهایی از کلاف اسپینور دیراک هستند که با  $E_1 \otimes E_2^*$  ناپدار شده‌اند. خواهیم داشت

$$\Phi_\Sigma = \text{Tr}_{\mathcal{H}_I}(-1)^F = (D_{E_1 \otimes E_2^*}) \text{اندیس}$$

و لذا قضیه شاخص [اندیس] خیلی ساده نتیجه می‌شود.

### ۴.۵ دیدگاه

در سالهای اخیر، پیشرفتهای جدید جالبی در این رشته صورت گرفته است. این مرور مختصر نمی‌تواند حق مطلب را ادا کند، ولی خواننده می‌تواند با مطالعه مقالات مروری [۱۷] و [۱۸] و متونی که در این مقالات از آنها نام برده شده، تصویر روشنی از این موضوع به دست آورد.

### مراجع

1. J. Polchinski, *String Theory* (Cambridge Monographs on Mathematical Physics), Cambridge University Press, 1998.
2. D. A. Cox and S. Katz, *Mirror Symmetry and Algebraic Geometry* (Mathematical Surveys and Monographs, No. 68), AMS, 1999.
3. K. Hori, S. Katz, A. Klemm, R. Pandharipande, R. Thomas, C. Vafa, R. Vakil, E. Zaslow, *Mirror Symmetry*, Clay Mathematics Monographs, AMS, 2003.
4. Yu. I. Manin, *Probenius Manifolds, Quantum Cohomology, and Moduli Spaces*, AMS, 1999.

با در نظر گرفتن آن به صورت یک نگاشت

$$\Phi_\Sigma : \mathcal{H}_I \otimes \mathcal{H}_I \longrightarrow \mathcal{H}_I$$

ملاحظه می‌کنیم که رأس تقاطع این ریسمان باز اکنون با عبارت زیر مشخص می‌شود

$$\Phi_\Sigma(\psi_1 \otimes M_1, \psi_2 \otimes M_2) = (\psi_1 + \psi_2) \otimes (M_1 M_2).$$

لذا ما حاصلضرب ریسمان وابسته را با حاصلضرب ماتریسی ضرب تانسوری کرده‌ایم.

با در نظر گرفتن حد هندسی، که در آن نظریه میدان کوانتومی به عنوان مدل سیگمای نیمه‌کلاسیک روی  $X$  در نظر گرفته می‌شود، میدانهای ریسمانی متناظر با حالات  $\mathcal{H}_I$ ، یعنی فضای هیلبرت ریسمان باز، میدانهایی با مقادیر ماتریسی  $D$ -شامه  $Y$  خواهند بود، یعنی، می‌توان آنها را به عنوان برشهای  $\text{End}(E)$  در نظر گرفت که در آن  $E$  یک کلاف برداری (بدیهی) روی  $Y$  است. همین ساختار ماتریسی زمانی هم که  $N$  تا  $D$ -شامه متمایز  $Y_1, \dots, Y_N$  را در نظر بگیریم، به طور طبیعی ظاهر می‌شود. در چنین حالتی ماتریسی از ریسمانهای باز داریم که از شامه  $Y_1$  تا شامه  $Y_N$  کشیده شده است. در چنین حالتی هیچ توجیه واضحی برحسب کلاف برداری وجود ندارد. اما اگر تمام  $D$ -شامه‌ها برهم منطبق شوند یعنی  $Y_1 = \dots = Y_N = Y$ ، آنگاه یک تقارن  $U(N)$  پدید می‌آید.

### ۲.۵ $D$ -شامه‌ها و نظریه $K$

ارتباط با کلافهای برداری بسیار مفید از آب درآمده است. قدم بعدی، در نظر گرفتن  $D$ -شامه‌ها با کلافهای برداری نابدیهی است. معلوم شده است که این یکرختیها را می‌توان به عنوان ترکیب شامه‌های با ابعاد مختلف در نظر گرفت [۱۴]. فرمول دقیقی وجود دارد که توپولوژی کلاف برداری  $E$  را به باز شامه،  $\mu(E)$ ، مربوط می‌سازد که می‌توان آن را به صورت رده‌ای در  $H^*(X)$  در نظر گرفت. (ما برای سادگی اولین شامه‌های ماکسیمال  $Y = X$  را در نظر می‌گیریم.) ملاحظه می‌شود [۱۵]:

$$\mu(E) = \text{ch}(E) \hat{A}^{1/2} \in H^*(X) \quad (2)$$

که در اینجا  $\text{ch}(E)$  مشخصه چرن (تعمیم یافته)

$$\text{ch}(E) = \text{Tr} \exp(F/2\pi i)$$

و  $\hat{A}$  گونایی است که در قضیه شاخص اتیا-سینگر ظاهر می‌شود. توجه کنید که بار  $D$ -شامه می‌تواند کسری باشد.

برای توصیف شامه‌های با بعد کمتر می‌توان از دو شامه با بعد زیاد، با کلافهای برداری  $E_1$  و  $E_2$  که بار مخالف دارند، شروع کرد. از نظر فیزیکی، دوتا از این گونه شامه‌ها پس از حذف شدن، گردایه‌ای از شامه‌های با بعد کمتر را باقی می‌گذارند. از نظر ریاضی، شی حاصل را باید یک کلاف مجازی  $E_1 \oplus E_2$  که نشان دهنده رده‌ای در  $K^*(X)$ ، گروه نظریه  $K$  ای  $X$ ، می‌باشد، در نظر گرفت [۱۶]. در واقع، نگاشت  $\mu$  در (۲) تناظر مشهور

$$\mu : K^*(X) \longrightarrow H^{\text{ev}}(X)$$

- B443, 85 (1995) hep-th/9503124.
13. E. Witten, Bound states of strings and p-branes, *Nucl. Phys.* B460, 335 (1996) hep-th/9510135.
  14. M. Douglas, *Branes within branes*, hep-th/9512077.
  15. M. Green, J. Harvey, and G. Moore, l-brane inflow and anomalous couplings on D-branes, *Class. Quant. Grav.* 14, 47-52 (1997) hep-th/9605033.
  16. E. Witten, *D-branes and K-theory*, *JHEP* 9812, 019 (1998) hep-th/9810188.
  17. A. Neitzke and C. Vafa, *Topological strings and their physical applications*, arXiv: hep-th/0410178.
  18. M. Marino, *Chern-Simons theory and topological strings*, *Rev. Mod. Phys.* 77 (2005) 675 [arXiv:hep-th/0406005].  
*Les Houches lectures on matrix models and topological strings*, arXiv: hep-th/0410165.
- \*\*\*\*\*
- Robbert H. Dijkgraaf, "The mathematics of string theory", *Gaz. Math.*, (106) suppl (2005) 45-64.
- روبرت دایگراف، دانشگاه آمستردام، هلند
- سیاسگزارى، از آقای محمد مهدى شيخ جبارى به خاطر مساعدت در ویرایش ترجمه این مقاله سپاسگزارم.
5. D. McDuff and D. Salamon, *J-holomorphic curves and quantum cohomology*, AMS, 1994.
  6. Ph. Di Francesco, P. Mathieu, and D. Senechal, *Conformal Field Theory* (Graduate Texts in Contemporary Physics), Springer, 1996.
  7. B. Zwiebach, Closed string field theory: quantum action and the B-V master equation, *Nucl. Phys.* B390, 33-152 (1993) hep-th/9206084.
  8. R. Dijkgraaf, *Les Houches Lectures on Fields, Strings and Duality*, in *Quantum Symmetries*, les Houches Session LXIV, Eds. A. Connes, K. Gawedzki, and J. Zinn-Justin, North-Holland, 1998, hep-th/9703136.
  9. G. Segal, *The definition of conformal field theory*, preprint; *Two dimensional conformal field theories and modular functions*, in *IXth International Conference on Mathematical Physics*, B. Simon, A. Truman and I. M. Davies Eds. (Adam Hilger, Bristol, 1989).
  10. P. Candelas, P. Green, L. Parke, and X. de la Ossa, A pair of Calabi-Yau manifolds as an exactly soluble superconformal field theory, *Nucl. Phys.* B359, 21 (1991) and in [2].
  11. J. Polchinski, Dirichlet-branes and Ramond-Ramond charges, *Phys. Rev. Lett.* 75, 4724-4727 (1995) hep-th/9510017.
  12. E. Witten, String theory in various dimensions, *Nucl. Phys.*